

۱۷/۱/۱۳۸۲
۸۴

بِسْمِ اللَّهِ الرَّحْمَنِ الرَّحِيمِ

دفتر صحافی مبارک

تبریز: فلک و انشاہ پبلسٹیم، زیر زمین پلاک ۲۶ تلفن: ۳۳۶۴۶۸۰

۰۹۱۴۱۱۵۰۰۴۹ - ۰۹۱۴۳۱۳۰۰۴۹ - ۰۹۱۴۳۱۰۰۰۴۸

۱۰۲۰۱۷



دانشکده مهندسی برق و کامپیوتر

گروه مهندسی برق قدرت

پایان نامه

برای دریافت درجه کارشناسی ارشد در رشته مهندسی برق قدرت

عنوان

بهینه سازی درایو موتور القایی به روش لغزشی - فازی

و کاهش تلفات

اساتید راهنما

دکتر محمدرضا فیضی

دکتر محمدباقر بناء شریفیان

استاد مشاور

مهندس قاسم اهرابیان

پژوهشگر

سعید اصغروند

مهرماه ۱۳۸۷

۱۳۸۷ / ۹ / ۲۵

۱۵۳۵۱۷

نام خانوادگی دانشجو: اصغروند	نام: سعید
عنوان پایان‌نامه: بهینه‌سازی درایو موتور القائی به روش لغزشی - فازی و کاهش تلفات	
استاد راهنما: دکتر محمدرضا فیضی، دکتر محمدباقر بناء شریفیان	استاد مشاور: مهندس قاسم اهرابیان
مقطع تحصیلی: کارشناسی ارشد	رشته: برق
دانشکده: برق و کامپیوتر	تاریخ فارغ‌التحصیلی: ۱۳۸۷/۷/۱۳
کلید واژه‌ها:	گرایش: قدرت
کنترل برداری ماشین القائی، کنترلر مد لغزش، تخمین سرعت بدون سنسور موتور القائی، کنترل کننده فازی، افزایش بازده	دانشگاه: تبریز
چکیده:	تعداد صفحه: ۸۱
<p>امروزه ماشین‌های القائی به دلیل قیمت نسبتاً پایین‌تر، توان بالا و نیاز به سرویس دوره‌ای کمتر، کاربرد زیادی در صنایع پیدا کرده‌اند. از طرف دیگر به دلیل حالت ذاتی غیر خطی ماشین‌های القائی و عواملی مانند تغییر پارامترهای موتور بر اثر حرارت و حالت عمل‌کرد، کنترل این موتورها به یکی از مسائل بحث‌انگیز در طراحی درایو تبدیل شده است. همچنین به دلیل افزایش قیمت درایو و کاهش قابلیت اعتماد بر اثر نفوذ نویز در حلقه کنترلی هنگام استفاده از سنسور سرعت، ارائه روش‌های کنترلی بدون سنسور جهت تخمین سرعت موتور و کنترل ماشین القائی بسیار مورد توجه است. در این پایان‌نامه روش لغزش که اساساً برای سیستم‌های با ساختار متغیر تهیه گردیده است، همراه با کنترل فازی که روش هوشمند جهت تعیین حالت عمل‌کرد در سیستم می‌باشد، برای کنترل سرعت در موتور القائی مورد استفاده قرار گرفته است. این روش به دلیل نوع کنترل کننده انتخاب شده کمترین وابستگی را به پارامترهای موتور دارد. برای تعیین سرعت موتور بدون حس‌گر، روشی بر مبنای مد لغزش مبتنی بر مدل جریان پیشنهاد گردیده است که با حذف خطای ماندگار بر اثر انتگرال‌گیری، عمل‌کرد موتور را بهبود بخشیده و هم‌زمان با تخمین مقدار مقاومت روتور استفاده از کنترل برداری غیرمستقیم را ممکن می‌سازد. در آخرین بخش از پایان‌نامه، با ترکیبی از دو روش کمترین مقدار جریان و کمترین مقدار توان ورودی به موتور، با کمک منطق فازی روش جدید بهبود بازدهی در موتور القائی مبتنی بر کنترلر جستجو معرفی گردیده که زمان عمل‌کرد و یافتن نقطه بهینه را کاهش داده است.</p>	

فهرست موضوعی

۴	فهرست شکل‌ها
۷	فهرست اختصارات
۹	۱- مقدمه
۱۲	۲- بررسی منابع
۱۲	۱-۲- کنترل برداری در موتورهای القائی
۱۲	۲-۱-۱- انتقال محورها
۱۵	۲-۱-۲- مدل دینامیکی موتور القائی
۱۸	۲-۱-۳- شماتیک کلی کنترل در جهت میدان
۱۹	۲-۱-۴- کنترل در جهت میدان مستقیم
۲۰	۲-۱-۵- کنترل در جهت میدان غیر مستقیم
۲۱	۲-۲- کنترل سرعت در موتورهای القائی
۲۱	۲-۲-۱- معرفی و بررسی کنترل‌کننده‌های مختلف
۲۲	۲-۲-۲- روش لغزش در کنترل سرعت

- ۲۴ - ۳-۲- تخمین سرعت در موتور القائی
- ۲۷ - ۴-۲- افزایش بازدهی در موتورهای القائی
- ۲۸ - ۱-۴-۲- روش‌های LMC و SC برای افزایش بازدهی
- ۲۹ - ۲-۴-۲- افزایش بازدهی در موتورهای القائی با مینیمم کردن جریان ورودی موتور
- ۳۳ - ۲-۴-۳- مقدمه‌ای بر کنترل فازی
- ۳۵ - ۳- مواد و روش‌ها
- ۳۵ - ۱-۳- کنترل کننده سرعت فازی- لغزشی
- ۳۵ - ۳-۱-۱- کنترل کننده لغزشی
- ۳۹ - ۳-۱-۲- مدل ماشین القائی
- ۴۱ - ۳-۱-۳- کنترل کننده فازی
- ۴۴ - ۲-۳- تخمین سرعت روتور در مد لغزش
- ۴۴ - ۳-۲-۱- تخمین گر سرعت لغزشی با مشاهده گر جریان در کنترل برداری مستقیم
- ۴۸ - ۳-۲-۲- حذف خطای انتگرال‌گیری در تخمین سرعت
- ۵۰ - ۳-۳- ساختار جدید روش SC مبتنی بر کنترل فازی
- ۵۰ - ۳-۳-۱- استفاده از روش فازی جهت کاهش تلفات موتور
- ۵۳ - ۳-۳-۲- کاهش زمان تغییرات در روش SC برای افزایش بازده
- ۵۶ - ۴- نتایج و بحث
- ۵۷ - ۴-۱- شبیه‌سازی کنترلر سرعت فازی- لغزشی
- ۵۷ - ۴-۱-۱- مقایسه کنترلر سرعت PI و لغزشی

- ۶۰ ۴-۱-۲- مقایسه کنترلر سرعت لغزشی و لغزشی- فازی
- ۶۷ ۴-۲- شبیه‌سازی کنترلر فازی افزایشنده ضریب بهره
- ۷۰ ۵- نتیجه‌گیری و پیشنهادات
- ۷۲ ۶- ضمائم
- ۷۲ ۶-۱- کنترلر جریان هیستریزیس
- ۷۸ ۶-۲- مشخصات درایو مورد استفاده
- ۷۹ منابع و مراجع

فهرست شکل‌ها

۱۳	فضای برداری جریان‌های استاتور	شکل ۱-۲
۱۴	تبدیل پارک	شکل ۲-۲
۱۷	دیاگرام فازوری کنترل برداری ماشین القایی	شکل ۳-۲
۱۸	بلوک دیاگرام کلی کنترل برداری در ماشین القایی	شکل ۴-۲
۱۹	نمای کنترل برداری مستقیم	شکل ۵-۲
۲۰	شماتیک کنترل برداری غیر مستقیم	شکل ۶-۲
۲۶	تخمین‌گر سرعت مدل MRAS لغزشی	شکل ۷-۲
۲۷	تاثیر فلوی موتور بر بازدهی	شکل ۸-۲
۳۰	تغییرات توان ورودی نسبت به i_{ds}	شکل ۹-۲
۳۱	نقاط کمترین جریان و کمترین توان ورودی نسبت به i_{ds}	شکل ۱۰-۲
۳۲	رابطه k_{ip} نسبت به فرکانس موتور در توان‌های مختلف	شکل ۱۱-۲
۳۳	شمای کلی کنترل کننده فازی	شکل ۱۲-۲
۴۱	بلوک دیاگرام کنترلر سرعت لغزشی- فازی	شکل ۱-۳
۴۲	قوانین کنترلر فازی در کنترل کننده سرعت	جدول ۱-۳
۴۲	تابع عضویت برای خطای سرعت	شکل ۲-۳
۴۲	تابع عضویت برای تغییرات خطای سرعت	شکل ۳-۳
۴۳	تابع عضویت خروجی کنترلر فازی	شکل ۴-۳
۴۴	نمودار سه بعدی پاسخ کنترلر فازی به ورودی‌ها	شکل ۵-۳
۵۱	مجموعه قوانین کنترلر فازی	جدول ۲-۳
۵۱	توابع عضویت Δi_{ds}^-	شکل ۶-۳
۵۱	توابع عضویت ΔP^-	شکل ۷-۳
۵۲	توابع عضویت Δi_{ds-ref}	شکل ۸-۳
۵۲	نمودار سه بعدی پاسخ کنترلر فازی به ورودی‌ها در روش مرجع [۳۹]	شکل ۹-۳

- شکل ۳-۱۰ نمودار سه بعدی پاسخ کنترلر فازی ارایه شده به ورودی‌ها ۵۳
- شکل ۳-۱۱ نقاط کمترین جریان و کمترین توان ورودی نسبت به i_{ds} ۵۴
- شکل ۴-۱ بلوک دیاگرام کلی مدار ۵۶
- شکل ۴-۲ پاسخ کنترلر PI و لغزشی به سرعت مرجع پله ۵۸
- شکل ۴-۳ نمودار گشتاور پاسخ کنترلر PI و لغزشی به سرعت مرجع پله ۵۹
- شکل ۴-۴ نمودار پاسخ کنترلر PI به سرعت مرجع پله با تغییر پارامترهای کنترل ۵۹
- شکل ۴-۵ نمودار گشتاور کنترلر لغزشی به سرعت مرجع پله با تغییر پارامترهای ماشین ۶۰
- شکل ۴-۶ نمودار سرعت کنترلر لغزشی به سرعت مرجع پله با تغییر پارامترهای ماشین ۶۱
- شکل ۴-۷ تنظیم جریان گشتاورساز کنترلر لغزشی- فازی در مقایسه با کنترلر لغزشی ۶۱
- شکل ۴-۸ پاسخ گشتاور، سرعت و جریان کنترلر لغزشی- فازی با تغییر پارامترهای ماشین ۶۲
- شکل ۴-۹ تعقیب سرعت مرجع دوزنقه‌ای در کنترلر سرعت لغزشی با پارامترهای منحرف شده ۶۳
- شکل ۴-۱۰ تعقیب سرعت مرجع دوزنقه‌ای در کنترلر لغزشی- فازی با پارامترهای منحرف شده ۶۴
- شکل ۴-۱۱ جریان مولفه α استاتور برای تعقیب سرعت مرجع دوزنقه‌ای در کنترلر لغزش با پارامترهای منحرف ۶۵
- شکل ۴-۱۲ جریان مولفه α استاتور برای تعقیب سرعت مرجع دوزنقه‌ای در کنترلر لغزشی- فازی با پارامترهای منحرف ۶۵
- شکل ۴-۱۳ نمودار سرعت کنترلر لغزشی و لغزشی- فازی به سرعت مرجع پله با تغییر پارامترهای ماشین (PWM) ۶۶
- شکل ۴-۱۴ نمودار گشتاور کنترلر لغزشی و لغزشی- فازی به سرعت مرجع پله با تغییر پارامترهای ماشین (PWM) ۶۶
- شکل ۴-۱۵ نمودار جریان کنترلر لغزشی و لغزشی- فازی به سرعت مرجع پله با تغییر پارامترهای ماشین (PWM) ۶۶
- شکل ۴-۱۶ کاهش تلفات توسط دو کنترلر در بار ۱ نیوتن متر ۶۷
- شکل ۴-۱۷ تصحیح جریان فلوساز در دو کنترلر در بار ۱ نیوتن متر ۶۸
- شکل ۴-۱۸ کاهش تلفات توسط دو کنترلر در بار ۱۵ نیوتن متر ۶۸

۶۹	تصحیح جریان فلوساز در دو کنترلر دربار ۱۵ نیوتن متر	شکل ۴-۱۹
۷۳	شمای کلی کنترل‌کننده هیستریزیس	شکل ۶-۱
۷۴	شمای کلیدهای اینورتر	شکل ۶-۲
۷۵	شمای کلی اینورتر	شکل ۶-۳
۷۵	شمای واحد اینورتر	شکل ۶-۴
۷۶	شمای Simulink اینورتر	شکل ۶-۵
۷۶	نمای داخلی واحد اینورتر	شکل ۶-۶

فهرست اختصارات

R_s, R_r	مقاومت روتور و استاتور
L_{ls}, L_{lr}	اندوکتانس نشتی روتور و استاتور
L_m	اندوکتانس مغناطیس کننده
$L_s = L_{ls} + L_m$	اندوکتانس استاتور
$L_r = L_{lr} + L_m$	اندوکتانس روتور
$\sigma, \sigma = 1 - \frac{L_m^2}{L_s L_r}$	ضریب نشتی
$T_r, T_r = \frac{L_r}{R_r}$	ثابت زمانی روتور
$\omega_r, \omega_e, \omega_s$	سرعت روتور، سرعت سنکرون و سرعت لغزش
T_e, T_l	گشتاور الکتریکی و گشتاور بار
P	تعداد جفت پل ها
J	اینرسی موتور
B_f	ضریب اصطلاک
p	عملگر مشتق گیر
v_{ds}, v_{qs}	عناصر ولتاژ استاتور در محور $d-q$
i_{ds}, i_{qs}	عناصر جریان استاتور در محور $d-q$
i_{dr}, i_{qr}	عناصر جریان روتور در محور $d-q$
$\lambda_{ds}, \lambda_{qs}$	عناصر فلوی استاتور در محور $d-q$
$\lambda_{dr}, \lambda_{qr}$	عناصر فلوی روتور در محور $d-q$
$v_{\alpha s}, v_{\beta s}$	عناصر ولتاژ استاتور در محور $\alpha-\beta$
$i_{\alpha s}, i_{\beta s}$	عناصر جریان استاتور در محور $\alpha-\beta$
$i_{\alpha r}, i_{\beta r}$	عناصر جریان روتور در محور $\alpha-\beta$

$\lambda_{\alpha s}, \lambda_{\beta s}$
 $\lambda_{\alpha r}, \lambda_{\beta r}$
 $\hat{i}_{\alpha s}, \hat{i}_{\beta s}$
 $\hat{\lambda}_{\alpha r}, \hat{\lambda}_{\beta r}$
 $\hat{\omega}_r$
 k_e
 k_h

 عناصر فلوی استاتور در محور $\alpha - \beta$

 عناصر فلوی روتور در محور $\alpha - \beta$

مقادیر تخمینی جریان استاتور

مقادیر تخمینی فلوی روتور

سرعت تخمینی روتور

ثابت تلفات جریان فوکو

ثابت تلفات جریان هیستریزیس

فصل اول

مقدمه

امروزه موتورهای القائی کاربرد گسترده‌ای در صنایع دارند. موتورهای القائی توان بالائی دارند و می‌توانند بدون حلقه‌های لغزش و کموتاتور ساخته شوند که عمر موتور را بالا برده و هزینه نگهداری را کاهش می‌دهد. بنابراین توجه زیادی در طراحی و توسعه کنترلرهای این نوع موتور وجود دارد. کنترل open loop موتورالقائی از طریق فرکانس متغیر، زمانی که بار ثابتی بر روی شفت وجود داشته باشد و سرعت دقیقی از عمل‌کرد موتور مورد انتظار نباشد، می‌تواند رضایت‌بخش باشد ولی هنگامی که پاسخ دینامیکی سریع، سرعت دقیق و کنترل گشتاور نیاز است، حلقه کنترلی درایو به صورت closed loop طراحی می‌گردد. عمل‌کرد دینامیکی موتورالقائی در سیستم‌ها مهم‌ترین تاثیر را در کارایی آنها دارد ولی به دلیل معادلات غیر خطی موتور، عدم دسترسی جهت اندازه‌گیری دقیق پارامترهای روتور و نیز تغییر پارامترهای موتور در شرایط عمل‌کرد متفاوت، طراحی کنترل بهینه دشوار می‌گردد. به‌طور عمده، تکنیک‌های کنترل موتورهای القائی به دو دسته تقسیم بندی می‌شود:

الف) روش کنترل اسکالر: یکی از تکنیک‌های ساده کنترل موتور آسنکرون، روش کنترل سرعت ولت-هرتز است که روش اسکالر نیز نامیده می‌شود. این روش به دلیل پاسخ دهی کند آن که از وابستگی ذاتی روابط فلوی فاصله هوایی و گشتاور ناشی می‌شود، عمل‌کرد ضعیفی در سیستم‌های سریع دارد و تحقیقات برای بهبود این روش به‌ندرت در مقالات به چشم می‌خورد [۲، ۱].

ب) کنترل برداری یا field oriented control: در روش کنترل برداری، متغیرهای موتور به یک دستگاه مرجع منتقل می‌شوند که کنترل دینامیک ماشین آسنکرون همانند یک ماشین dc گردد. جداسازی

کنترل فلو و گشتاور در این روش به درایو موتور القائی اجازه می‌دهد پاسخ گذرای سریع داشته باشد و موجب استفاده ماشین آسنکرون در سیستم‌های کارآمد، همچون ماشین dc می‌گردد.

در مقالات، شیوه‌های متعددی جهت افزایش کارایی این روش کنترلی مطرح گردیده است. در روش‌های بالا سنسور سرعت جهت استفاده در حلقه کنترلی، شرایط نامساعدی از جمله افزایش قیمت درایو، کاهش قابلیت اعتماد و تزریق نویز به حلقه کنترلی را پدید می‌آورد که روش‌های متعدد در سال‌های اخیر جهت حذف سنسور سرعت و فلو در درایو و جایگزینی آن‌ها با تخمین‌کننده‌های دیجیتال در مقالات مطرح شده است [۳-۵]. با این همه به دلیل حالت غیرخطی در دینامیک ماشین القائی، تخمین سرعت روتور و فلو بدون سنسور همچنان از موارد بحث‌انگیز است.

طراحی بهینه یک درایو موتور القائی مستلزم آن است که عمل‌کرد موتور را در تمام حالات کار آن مدنظر قرار داد. یکی از این مسائل، کاهش زمان پاسخ دهی و کم کردن مقدار افت سرعت در هنگام اعمال بار ناگهانی به شفت موتور در حال کار با بار سبک است که در مراجع [۶، ۷] روش‌هایی ارائه شده است که پاسخ‌دهی درایو را بهبود می‌بخشد.

مسئله دیگر در دینامیک موتور القائی، کاهش زمان رسیدن سرعت شفت به میزان نامی با کمترین overshoot می‌باشد [۶]. آنچه که در طراحی کنترلر بهینه عمده‌ترین مشکل را ایجاد می‌نماید، میزان حساسیت حلقه کنترلی به تغییرات پارامترهای ماشین در حالات مختلف عمل‌کرد ماشین است که این تغییرات ناشی از تغییرات حرارتی موتور و اشباع مغناطیسی است. از جمله مسائل مهم که در طراحی درایو بایستی در نظر گرفته شود ماکزیموم جریان قابل اعمال به موتور توسط درایو می‌باشد که با توجه به این محدودیت بایستی کنترلر بهینه برای بهترین پاسخ دینامیکی استخراج گردد [۷]. برای تخمین سرعت و فلو روش‌های متعددی در مقالات ذکر شده است که در تعدادی جهت کاهش خطای ناشی از

تغییرات پارامترها، سعی شده در مسیر الگوریتم کنترلی پارامترهای ماشین تصحیح شوند که در این بین تغییرات اهمی مقاومت روتور و استاتور به دلیل تغییرات گرمایی موتور، خطای زیادی می‌تواند در عمل‌کرد حلقه کنترلی ایجاد نماید [۸-۱۱]. از دیگر روش‌های تخمین فلو مطرح شده در مراجع، روش Sliding Mode Control است که با استفاده از تئوری پایداری لیاپانوف حساسیت الگوریتم به تغییر پارامترها را کاهش می‌دهد [۱۲-۱۶].

مشکل دیگر در کنترل برداری کلاسیک افزایش بازدهی موتور است. براساس گزارش‌ها ۶۵٪ از انرژی الکتریکی در آمریکا به وسیله موتورهای الکتریکی مصرف می‌شود. تنها در بخش صنعتی ۷۶٪ از انرژی الکتریکی به وسیله موتورهای مصرف می‌گردد که ۹۰٪ آنها موتور القائی هستند [۱۷]. موتور القائی در سرعت و بارنامی دارای بازدهی بالائی هستند ولی در بارهای کم به دلیل افزایش تلفات آهنی، بازدهی به میزان قابل توجهی کاهش می‌یابد.

فصل دوم

بررسی منابع

۲-۱- کنترل برداری در موتورهای القائی

گشتاور تولیدی در یک موتور الکتریکی حاصل از عمل متقابل جریان روتور و میدان مغناطیسی استاتور است. در موتور DC تحریک جداگانه که جریان سیم‌پیچی استاتور مقدار فلو را تعیین می‌نماید، گشتاور الکتریکی با تنظیم جریان سیم‌پیچی آرمیچر کنترل می‌گردد. در یک ماشین القائی با جدا نمودن پارامترهای مربوط به فلو و گشتاور می‌توان همانند موتور DC کنترل را به سادگی در دست گرفت. در کنترل برداری با انتقال بردارهای سه فاز متقارن به مرجع $d-q$ که با سرعت میدان روتور می‌چرخند، این ایده عملی می‌گردد که آن را کنترل در جهت میدان یا کنترل برداری می‌نامند.

۲-۱-۱- انتقال محورها

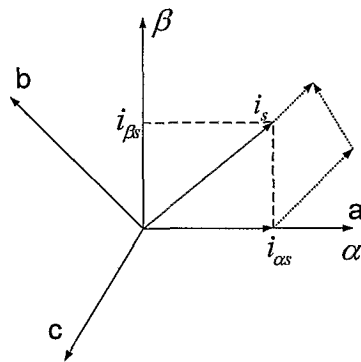
ولتاژها، جریان‌ها و فلوهای سه‌فاز در موتور القائی را می‌توان در فضای برداری آنالیز کرد. i_a, i_b, i_c که

جریان‌های پیوسته سه فاز در استاتور هستند، با فرض $i_a + i_b + i_c = 0$ در فضای برداری با \bar{i}_s به صورت زیر

تعریف می‌گردد [۱۸، ۱۹]:

$$\vec{i}_s = k(i_\alpha + \alpha i_b + \alpha^2 i_c) \quad (1-2)$$

که در فضای برداری $\alpha = e^{j\frac{2\pi}{3}}$ و $\alpha^2 = e^{j\frac{4\pi}{3}}$ می‌باشند و $k = \frac{2}{3}$.



شکل ۱-۲ فضای برداری جریان‌های استاتور

جریان استاتور در فضای برداری داده شده است که a و b و c محورهای سیستم سه فاز می‌باشند.

این فضای برداری یک سیستم سه فاز سینوسی را نشان می‌دهد. فضای برداری را می‌توان در مرجع محورهای قائم $\alpha - \beta$ نشان داد. قسمت حقیقی بردار فضایی برابر مقدار لحظه‌ای $i_{\alpha s}$ و قسمت موهومی برابر $i_{\beta s}$ از جریان استاتور است. بنابراین بردار فضایی جریان استاتور در مرجع جدید به صورت زیر بیان می‌گردد.

$$\vec{i}_s = i_{\alpha s} + j i_{\beta s} \quad (2-2)$$

بردارهای فضایی دیگر اجزای موتور شامل ولتاژها، جریان‌های روتور و فلوهای مغناطیسی را می‌توان به صورت مشابه در این فضای برداری تعریف کرد.

تبدیل کلارک: در یک ماشین سه فاز متقارن، بردارهای فضایی α و β را می‌توان از طریق رابطه

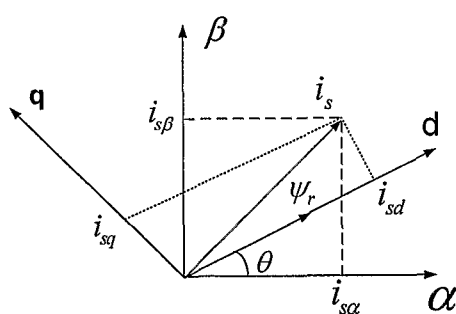
زیر به بردارهای سه فاز حقیقی تبدیل نمود:

$$i_{\alpha s} = k \left(i_{\alpha s} - \frac{1}{2} i_{\beta s} - \frac{1}{2} i_{\gamma s} \right) \quad (3-2)$$

$$i_{\beta s} = k \frac{\sqrt{3}}{2} (i_{\beta s} - i_{\gamma s})$$

که در این مورد i_{α} و i_{β} برابر هستند.

تبدیل پارک و معکوس آن: در اجرای کنترل در جهت میدان، تمام اجزاء برداری باید در یک قاب مرجع یکسان بررسی گردند. قاب مرجع $\alpha-\beta$ که با تبدیل کلارک معرفی می‌گردد، بر قاب مرجع سه فاز استاتور ثابت شده است و بردار \bar{i}_s با سرعت زاویه‌ای جریانه‌های فاز نسبت به این قاب می‌چرخد. بنابراین بردارهای $i_{\alpha s}$ و $i_{\beta s}$ نسبت به زمان تغییر می‌کنند که موجب می‌شود این قاب مرجع برای کنترل برداری مناسب نباشد. می‌توان اجزای برداری را به قاب مرجع $d-q$ که با سرعت زاویه‌ای فازهای فلوی روتور می‌چرخد منتقل نمود که انتخاب مناسبی برای استفاده در کنترل برداری و جداسازی مولفه‌های گشتاور و فلو می‌باشد. اگر محور d بر فلوی روتور منطبق شود، تبدیل همانند شکل (۲-۲) خواهد بود.



شکل ۲-۲ تبدیل پارک

اجزای i_{ds} و i_{qs} از فضای برداری جریان در مرجع $d-q$ از طریق رابطه زیر محاسبه می‌گردد.

$$\begin{bmatrix} i_{ds} \\ i_{qs} \end{bmatrix} = \begin{bmatrix} \cos \theta & \sin \theta \\ -\sin \theta & \cos \theta \end{bmatrix} \begin{bmatrix} i_{\alpha s} \\ i_{\beta s} \end{bmatrix} \quad (4-2)$$

تبدیل معکوس پارک از محور $d-q$ از رابطه‌ی زیر حاصل می‌گردد:

$$\begin{bmatrix} i_{\alpha s} \\ i_{\beta s} \end{bmatrix} = \begin{bmatrix} \cos \theta & -\sin \theta \\ \sin \theta & \cos \theta \end{bmatrix} \begin{bmatrix} i_{ds} \\ i_{qs} \end{bmatrix} \quad (5-2)$$

۲-۱-۲- مدل دینامیکی موتور القائی

معادله‌های دینامیکی موتور القائی در مرجع محورهای قائم $\alpha-\beta$ با روابط زیر بیان می‌گردند:

$$v_{\alpha s} = R_s i_{\alpha s} + \frac{d}{dt} \lambda_{\alpha s} \quad (6-2)$$

$$v_{\beta s} = R_s i_{\beta s} + \frac{d}{dt} \lambda_{\beta s} \quad (7-2)$$

$$v_{\alpha r} = R_r i_{\alpha r} + \frac{d}{dt} \lambda_{\alpha r} + \omega_r \lambda_{\beta r} \quad (8-2)$$

$$v_{\beta r} = R_r i_{\beta r} + \frac{d}{dt} \lambda_{\beta r} - \omega_r \lambda_{\alpha r} \quad (9-2)$$

$$\lambda_{\alpha s} = L_s i_{\alpha s} + L_m i_{\alpha r} \quad (10-2)$$

$$\lambda_{\beta s} = L_s i_{\beta s} + L_m i_{\beta r} \quad (11-2)$$

$$\lambda_{\alpha r} = L_r i_{\alpha r} + L_m i_{\alpha s} \quad (12-2)$$

$$\lambda_{\beta r} = L_r i_{\beta r} + L_m i_{\beta s} \quad (13-2)$$

معادله‌های دینامیکی موتور القائی در قاب مرجع $d-q$ که با سرعت ω_e نسبت به مرجع ساکن می‌چرخد

با رابطه‌های زیر تعریف می‌شوند:

$$v_{ds} = R_s i_{ds} + \frac{d}{dt} \lambda_{ds} - \omega_e \lambda_{qs} \quad (14-2)$$

$$v_{qs} = R_s i_{qs} + \frac{d}{dt} \lambda_{qs} + \omega_e \lambda_{ds} \quad (15-2)$$

$$v_{dr} = R_r i_{dr} + \frac{d}{dt} \lambda_{dr} + (\omega_e - \omega_r) \lambda_{qr} \quad (۱۶-۲)$$

$$v_{qr} = R_r i_{qr} + \frac{d}{dt} \lambda_{qr} - (\omega_e - \omega_r) \lambda_{dr} \quad (۱۷-۲)$$

$$\lambda_{ds} = L_s i_{ds} + L_m i_{dr} \quad (۱۸-۲)$$

$$\lambda_{qs} = L_m i_{qr} + L_s i_{qs} \quad (۱۹-۲)$$

$$\lambda_{dr} = L_m i_{ds} + L_r i_{dr} \quad (۲۰-۲)$$

$$\lambda_{qr} = L_r i_{qr} + L_m i_{qs} \quad (۲۱-۲)$$

$$T_e = \frac{3}{2} \frac{PL_m}{L_r} (\lambda_{dr} i_{qs} - \lambda_{qr} i_{ds}) \quad (۲۲-۲)$$

$$T_e - T_l = \frac{J}{P} p \omega_r + \frac{B}{P} \omega_r \quad (۲۳-۲)$$

مدل دو فاز $d-q$ که با سرعت سنکرون می‌چرخد، در دکوپله کردن اجزای کنترلی ماشین القائی

کمک شایانی می‌نماید. برای حصول این منظور می‌توان قاب مرجع را بر فلوی پیوندی استاتور، روتور و

یا فلوی مغناطیس‌کننده منطبق نمود که معمول‌ترین آن استفاده از مرجع گردان منطبق بر فلوی پیوندی

روتور می‌باشد. در این حالت ω_e برابر با سرعت لحظه‌ای فلوی روتور می‌گردد و فلوی روتور کاملاً در

جهت محور d قرار می‌گیرد که حاصل آن در حالت مانا $\lambda_{qr} = 0$ می‌شود.

با انتخاب این مرجع، معادله‌های روتور به صورت زیر بیان می‌گردد [۱۸]:

$$0 = R_r i_{dr} + p \lambda_{dr} \quad (۲۴-۲)$$

$$0 = R_r i_{qr} - (\omega_e - \omega_r) \lambda_{dr} \quad (۲۵-۲)$$

$$\lambda_{qr} = L_m i_{qs} + L_r i_{qr} = 0 \quad (۲۶-۲)$$

$$T_e = \frac{3}{2} \frac{PL_m}{L_r} \lambda_{dr} i_{qs} \quad (۲۷-۲)$$

با دقت در رابطه‌ی (۲-۲۷)، کنترل مطلوب برای گشتاور که متناسب با فلو است آشکار می‌گردد. اگر

فلوی روتور ثابت نگه‌داشته شود، همانند ماشین DC می‌توان گشتاور موتور را به وسیله i_{qs} کنترل نمود.

روابط زیر از معادله‌های بالا حاصل می‌گردد:

$$i_{qr} = -\frac{L_m}{L_r} i_{qs} \quad (2-28)$$

$$\lambda_{dr} = \frac{L_m}{1+T_r p} i_{ds} \quad (2-29)$$

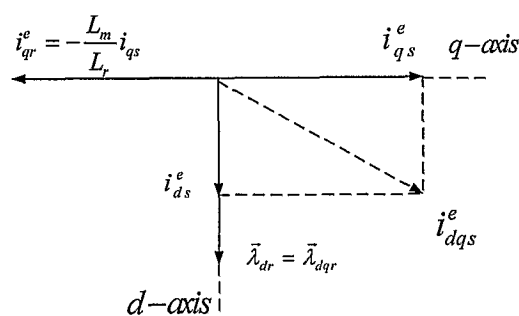
$$\omega_s = \frac{L_m i_{qs}}{T_r \lambda_{dr}} \quad (2-30)$$

که $T_r = L_r/R_r$ و $\omega_s = \omega_e - \omega_r$ به ترتیب سرعت لغزش و ثابت زمانی روتور می‌باشند. در حالت مانا،

$$\lambda_{dr} = L_m i_{ds} \quad \text{و} \quad i_{dr} = 0 \quad \text{می‌گردد.}$$

دیاگرام فازوری در جهت میدان ماشین القائی، در شکل (۲-۳) نشان داده شده است. رابطه‌ی (۲-۲۹)

نشان می‌دهد که فلوی ماشین می‌تواند از طریق جریان i_{ds} کنترل گردد.



شکل ۲-۳ دیاگرام فازوری کنترل برداری ماشین القائی